

ความสัมพันธ์ระหว่างโครงสร้างและสมบัติของตัวเร่งปฏิกิริยาเชอร์โคโนซีน
ในการเกิดพลิเมอร์ของโพร์พลีน

นายชนพงษ์ กฤตยกรนุพงศ์



วิทยานิพนธ์นี้เป็นส่วนหนึ่งของการศึกษาตามหลักสูตรปริญญาวิทยาศาสตรมหาบัณฑิต
สาขาวิชาเคมี ภาควิชาเคมี
คณะวิทยาศาสตร์ จุฬาลงกรณ์มหาวิทยาลัย
ปีการศึกษา 2543
ISBN 974-346-148-5
ลิขสิทธิ์ของจุฬาลงกรณ์มหาวิทยาลัย

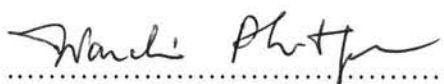
**STRUCTURE-PROPERTY RELATIONSHIPS OF ZIRCONOCENE
CATALYSTS IN PROPYLENE POLYMERIZATION**

Mr. Chinapong Kritayakornupong

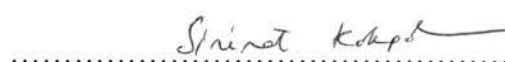
A Thesis Submitted in Partial Fulfillment of the Requirements
for the Degree of Master of Science in Chemistry
Department of Chemistry
Faculty of Science
Chulalongkorn University
Academic Year 2000
ISBN 974-346-148-5

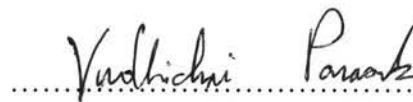
Thesis Title Structure-Property Relationships of Zirconocene Catalysts in Propylene Polymerization
By Mr. Chinapong Kritayakornupong
Department Chemistry
Thesis Advisor Associate Professor Vudhichai Parasuk, Ph.D.

Accepted by Faculty of Science, Chulalongkorn University in Partial Fulfillment of the Requirements for the Master's Degree

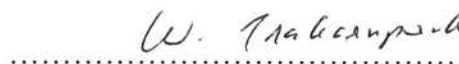
 Dean of Faculty of Science
(Associate Professor Wanchai Phothiphichitr, Ph.D.)

Thesis Committee

 Chairman
(Associate Professor Sirirat Kokpol, Ph.D.)

 Thesis Advisor
(Associate Professor Vudhichai Parasuk, Ph.D.)

 Member
(Associate Professor Supot Hannongbua, Ph.D.)

 Member
(Associate Professor Wimonrat Trakarnpruk, Ph.D.)

ชินพงษ์ กฤตยากรนุพงษ์ : ความสัมพันธ์ระหว่างโครงสร้างและสมบัติของตัวเร่งปฏิกิริยาเซอร์โโคโนซีนในการเกิดโพลิเมอร์ของโพร์ฟิลิน (STRUCTURE-PROPERTY RELATIONSHIPS OF ZIRCONOCENE CATALYSTS IN PROPYLENE POLYMERIZATION) อาจารย์ที่ปรึกษา : รศ. ดร. วุฒิชัย พาราสุข, 107 หน้า. ISBN 974-346-148-5

ในการศึกษารังนี้ ได้ทำการคำนวณหาโครงสร้างสตีเบรของเซอร์โโคโนซีน ๕ โครงสร้างค่าวิธีทางเคมีความตันต่างๆ ได้แก่ B3LYP/DZVP, B3LYP/LANL2DZECP, ONIOM (B3LYP/DZVP:UFF) และเปรียบเทียบค่าพารามิเตอร์ทางโครงสร้างที่ได้จากการคำนวณค่าวิธีต่างๆ จากนั้นก็นำพารามิเตอร์เหล่านี้มาหาค่าตัวแปรทางโครงสร้างซึ่งได้แก่ ระยะทางระหว่างระนาบของวงไซโคลเพนตะไครอินิล มุมระหว่างระนาบของวงไซโคลเพนตะไครอินิล ความอ้าของช่อง โอบลิคิวตี มุมของการบิด ระยะแคนที่สุดของโพรง และ มุมโพรง เพื่อหาความสัมพันธ์กับสมบัติในการเร่งปฏิกิริยา เช่น ร้อยละการเกิดไอโซเทกติก และ โพรัดกิวิตี จากกราฟความสัมพันธ์ระหว่างสมบัติในการเร่งปฏิกิริยาและพารามิเตอร์ทางโครงสร้าง เมื่อระยะทางระหว่างระนาบของวงไซโคลเพนตะไครอินิล และ มุมระหว่างระนาบของวงไซโคลเพนตะไครอินิลมีค่าเพิ่มขึ้นร้อยละการเกิดไอโซเทกติกเพิ่มขึ้น ซึ่งสามารถนำมาใช้ในการออกแบบตัวเร่งปฏิกิริยาตัวใหม่เพื่อให้มีความเฉพาะเจาะจงสูงขึ้น ได้ สำหรับสมบัติในการเร่งปฏิกิริยา เมื่อความอ้าของช่อง ระยะแคนที่สุดของโพรง และ มุมโพรง มีค่าเพิ่มขึ้น โพรัดกิวิตีเพิ่มขึ้น เช่นเดียวกับประจุบน Zr และวงไซโคลเพนตะไครอินิลของโครงสร้างในรูปไปอ่อนมีความสัมพันธ์ที่ดีกับโพรัดกิวิตีที่ได้จากการทดลอง ดังนั้นความเกี่ยวกับที่สภาวะทรานสิชันซึ่งแทนค่าวิธีทางระหว่างระนาบของวงไซโคลเพนตะไครอินิลควบคุมความเฉพาะเจาะจง และอัตราการผ่านเข้าโพรงซึ่งขึ้นอยู่กับขนาดช่องทางเข้าโพรง (ระยะแคนที่สุดของโพรง) และอิทธิพลทางอิเล็กตรอนซึ่งแทนค่าวิธีประจุบน Zr ควบคุมความสามารถในการเร่งปฏิกิริยา ความรู้สึกสามารถนำมาใช้แนะนำตัวเร่งปฏิกิริยาเซอร์โโคโนซีนที่มีสมบัติในการเร่งปฏิกิริยาตามต้องการได้

ภาควิชา...เคมี.....	ลายมือชื่อนิสิต..... อรุณรัตน์ ภูรบกุล
สาขาวิชา...เคมีพิสิกส์.....	ลายมือชื่ออาจารย์ที่ปรึกษา..... ดร. มนต์รัตน์ ภูรบกุล
ปีการศึกษา...๒๕๔๓.....	ลายมือชื่ออาจารย์ที่ปรึกษาร่วม.....

4172273023 : MAJOR CHEMISTRY

CHINAPONG KRITAYAKORNUPONG : STRUCTURE-PROPERTY
RELATIONSHIPS OF ZIRCONOCENE CATALYSTS IN PROPYLENE
POLYMERIZATION. THESIS ADVISOR : ASSOC. PROF. VUDHICHAI
PARASUK, Ph.D. 107 pp. ISBN 974-346-148-5

In this study, the quantum chemical calculations were performed on five zirconocene structures in which geometries were optimized at various levels of theory such as B3LYP/DZVP, B3LYP/LANL2DZ, and ONIOM (B3LYP/DZVP:UFF). All optimized parameters of various methods were compared. Structural parameters such as distance between Cp planes, angle between Cp planes, gap aperture, obliquity, twisted angle, cavity distance, and cavity angle were elucidated from these optimized geometries to seek for relations with catalytic properties such as % isotacticity and productivity. From the plots between catalytic properties and structural parameters, the distance and angle between Cp planes increase as the % isotacticity increase, which could be used to design new catalysts with higher selectivity. For reactivity, the productivity increases as the gap aperture, cavity distance, and cavity angle increases. Also Zr charges as well as charges on the cyclopentadienyl rings, in the ion form gives good relation with the experimental productivity. Thus, the steric at transition state which represented by large cavity (distance between Cp planes) controls the selectivity and the rate of entering cavity which represented by the entrance channel (cavity distance) and the electronic effect of substituents represented by charge on zirconium controlled the reactivity. This knowledge was used to suggest new zirconocene catalyst with required catalytic properties.

ภาควิชา...เคมี.....	ลายมือชื่อนิสิต.....	ธันพวนิช กฤตภานุพรกุล.....
สาขาวิชา...เคมีฟิสิกส์.....	ลายมือชื่ออาจารย์ที่ปรึกษา.....	ดร. ดร.
ปีการศึกษา... 2543	ลายมือชื่ออาจารย์ที่ปรึกษาร่วม.....	



ACKNOWLEDGEMENTS

I would like to affectionately give all gratitude to my parents for their wholehearted understanding, encouragement, and support throughout my entire study.

Gratefully thanks to Associate Professor Dr. Sirirat Kokpol, Associate Professor Dr. Supot Hannongbua and Associate Professor Dr. Wimonrat Trakarnpruk for their advice as thesis committee.

I also would like to acknowledge the Austrian-Thai Center (ATC) for computer assisted chemical education and research for computing and other academic facilities. Thanks to Dr. David Valenta for allowing us to use the facility at the Hewlett – Packard, Colorado. Also thanks to the High Performance Computing Center (HPCC), the National Electronics and Computers Technology Center (NECTEC) for computer time at their SGI–powerchallenge and the *Ratchdaphisek Somphot Endowment* a grant for financial support.

I also would like to thank Prof. Dr. Keiji Morokuma and Dr. Thom Vreven for suggestion regarding the mechanism of propylene polymerization and ONIOM approach and Prof. Dr. Hans-Herbert Brintzinger who kindly gave me the Aperture program and the X-ray structure of the zirconocene structure 3.

Finally, this thesis would never be completed without the excellent advice from my thesis advisor, Associate Professor Dr. Vudhichai Parasuk, who always provides me the useful guidance, suggestion, encouragement, and understanding during the whole research.

CONTENTS

	Pages
ABSTRACT IN THAI.....	iv
ABSTRACT IN ENGLISH.....	v
ACKNOWLEDGEMENT.....	vi
LIST OF FIGURES.....	x
LIST OF TABLES.....	xiii
LIST OF ABBREVIATIONS.....	xv
LIST OF SYMBOLS.....	xv
CHEPTER 1 INTRODUCTION.....	1
1.1 Polypropylene.....	1
1.2 Ziegler-Natta Catalyst.....	3
1.3 Metallocene Catalyst.....	4
1.3.1 The Stereoselectivity of Propylene from Metallocene Catalysts.....	5
1.3.1.1 Definition of % isotacticity.....	5
1.3.2 Acticities of Metallocene Catalysts.....	8
CHEPTER 2 THEORETICAL BACKGROUND.....	11
2.1 Solution of Schrödinger Equation of Molecular Systems.....	11
2.1.1 The Schrödinger Wave Equation.....	11
2.1.2 The Born-Oppenheimer Approximation.....	12
2.1.3 The Hartree-Fock Wavefunction.....	14
2.1.4 Molecular Orbital and Introduction of Basis set.....	15
2.2 Basis set.....	17
2.2.1 Minimal Basis sets.....	17
2.2.2 Extended Basis set.....	18
2.2.3 Polarization Basis set.....	19

	Pages
2.2.4 Basis set Incorporating Diffuse Function.....	19
2.3 Effective Core Potential (ECP).....	20
2.4 Density Functional Theory.....	22
2.5 Molecular Mechanics.....	29
2.6 ONIOM Approach (our own <i>n</i> -layered integrated molecular orbital and molecular mechanics).....	30
 CHAPTER 3 CALCULATIONS.....	 36
3.1 Zirconocene Catalyst.....	36
3.2 Geometry Optimization.....	38
3.2.1 QM Method.....	39
3.2.2 QM/MM Method.....	39
3.3 Parameter for Predicting Catalytic Property.....	41
3.3.1 Distance and Angle between Cp Planes.....	41
3.3.2 Gap Aperture and Obliquity.....	42
3.3.3 Twisted Angle.....	43
3.3.4 Cavity Distance and Cavity Angle.....	44
3.3.5 Atomic Charges.....	46
 CHAPTER 4 RESULTS.....	 47
4.1 Optimized Structure of Zirconocene Using QM and ONIOM.....	47
4.1.1 (Me ₂ C) ₂ (4- <i>t</i> Bu-C ₅ H ₃) ₂ ZrCl ₂	47
4.1.2 Me ₂ Si(4- <i>t</i> Bu-C ₅ H ₃) ₂ ZrCl ₂	51
4.1.3 Me ₂ Si(2-Me-4- <i>t</i> Bu-C ₅ H ₂) ₂ ZrCl ₂	55
4.1.4 Me ₂ Si(2-Me-4- <i>i</i> Pr-C ₅ H ₂) ₂ ZrCl ₂	60
4.1.5 (CH ₂) ₂ (tetrahydroindenyl) ₂ ZrCl ₂	65
4.1.6 Comparison with X-ray Data.....	69
4.1.7 Comparison between Computation Techniques.....	70
4.2 Geometrical Parameters and Their Relation to Catalytic Properties..	71

	Pages
4.2.1 Distance and Angle between Cp Planes.....	71
4.2.2 Gap Aperture and Obliquity.....	74
4.2.3 Twisted Angle.....	78
4.2.4 Cavity Distance and Cavity Angle.....	80
4.2.5 Atomic Charges.....	84
CHAPTER 5 DISCUSSION.....	87
5.1 Structure of Zirconocene.....	87
5.2 Quantitative Structure-Property Relationships (QSPR).....	89
5.2.1 Distance and Angle between Cp Planes.....	89
5.2.2 Gap Aperture and Obliquity.....	90
5.2.3 Twisted Angle.....	92
5.2.4 Cavity Distance and Cavity Angle.....	93
5.2.5 Atomic Charges.....	94
5.3 Suggestion for New Zirconocene Catalyst.....	95
CHAPTER 6 CONCLUSION.....	98
6.1 The Structure-Property Relationships of Selectivity.....	98
6.2 The Structure-Property Relationships of Reactivity.....	98
6.3 The Effect of Substituents Group and Bridging Group to Cp Ring Opening.....	99
6.4 The Optimum Method for Calculation Zirconocene Structure.....	99
REFERENCES.....	100
APPENDIX.....	104
CURRICULUM VITAE.....	107

LIST OF FIGURES

Figures	Pages
1.1 The syndiotactic, isotactic, and atactic forms of polypropylene.....	2
1.2 Direct insertion mechanism as proposed by Cossee and Arlman.....	4
1.3 The Cossee-Arlman mechanism.....	5
1.4 The ten possible stereochemical pentads of a polyolefin.....	6
1.5 The 4 possibilities of propylene attack to metallocene catalyst.....	8
2.1 The cusp of Slater function.....	17
2.2 The ONIOM extrapolation scheme for a molecular system partitioned into two layers.....	31
2.3 Definition of different atom sets within the ONIOM scheme.....	32
2.4 Inner and outer regions using for partitioning of ethane molecule.....	33
3.1 Structures of zirconocene that investigated	37
3.2 Model and real systems using for partitioning dimethylsilano bridged zirconocene complexes.....	40
3.3 Model and real systems using for partitioning tetramethylethano and ethano bridged zirconocene complexes.....	40
3.4 The measurement of angle and distance between Cp planes.....	42
3.5 Illustrating of gap aperture and obliquity of zirconocenes.....	43
3.6 The illustration of twisted angle between two cyclopentadienyl rings of zirconocenes.....	44
3.7 The illustration of cavity distance of hydrogen atom at β -substituents.....	45
3.8 The illustration of cavity angle of hydrogen atom at β -substituents.....	46
4.1 Zirconocene structure 1 with atomic numbering.....	47
4.2 Zirconocene structure 2 with atomic numbering.....	51
4.3 Zirconocene structure 3 with atomic numbering.....	55
4.4 Zirconocene structure 4 with atomic numbering.....	60

Figures	Pages
4.5 Zirconocene structure 5 with atomic numbering.....	65
4.6 Plot of distance between Cp planes obtained at various levels of theory versus % isotacticity.....	72
4.7 Plot of angle between Cp planes obtained at various levels of theory versus % isotacticity.....	73
4.8 Plot of distance between Cp planes obtained at various levels of theory versus productivity.....	73
4.9 Plot of angle between Cp planes obtained at various levels of theory versus productivity.....	74
4.10 Plot of gap aperture obtained at various levels of theory versus % isotacticity.....	76
4.11 Plot of obliquity obtained at various levels of theory versus % isotacticity.....	76
4.12 Plot of gap aperture obtained at various levels of theory versus productivity.....	77
4.13 Plot of obliquity obtained at various levels of theory versus productivity.....	77
4.14 Plot of twisted angle obtained at various levels of theory versus % isotacticity.....	79
4.15 Plot of twisted angle obtained at various levels of theory versus productivity.....	79
4.16 Plot of cavity distance obtained at various levels of theory versus % isotacticity.....	81
4.17 Plot of cavity angle obtained at various levels of theory versus % isotacticity.....	82
4.18 Plot of cavity distance obtained at various levels of theory versus productivity.....	82

Figures	Pages
4.19 Plot of cavity angle obtained at various levels of theory versus productivity.....	83
4.20 Plots of charges of cyclopentadienyl ring in neutral and ion forms obtained from B3LYP/DZVP versus productivity.....	85
4.21 Plots of charges of zirconocene ring in neutral and ion forms obtained from B3LYP/DZVP versus productivity.....	86
5.1 The definition of positive and negative signs of twisted angle.....	92

LIST OF TABLES

Tables	Pages
3.1 Reaction time, productivity, and % isotacticity of 5 structure of zirconocenes obtained from Brintzinger.....	38
4.1 Structure parameter of $(Me_2C)_2(4-tBu-C_5H_3)_2ZrCl_2$ obtained at various levels of theory.....	48
4.2 Structure parameter of $Me_2Si(4-tBu-C_5H_3)_2ZrCl_2$ obtained at various levels of theory	51
4.3 Structure parameter of $Me_2Si(2-Me-4-tBu-C_5H_2)_2ZrCl_2$ obtained at various levels of theory	55
4.4 Structure parameter of $Me_2Si(2-Me-4-iPr-C_5H_2)_2ZrCl_2$ obtained at various levels of theory	60
4.5 Structure parameter of $(CH_2)_2(\text{tetrahydroindenyl})_2ZrCl_2$ obtained at various levels of theory	65
4.6 Comparison between X-ray structure and B3LYP/DZVP optimized structure of structure 3	69
4.7 The average difference of bond distances, bond angles and torsion angles of 5 zirconocene structures.....	70
4.8 The distance between Cp planes (\AA) of 5 zirconocene structures from QM and ONIOM calculations.....	71
4.9 The angle between Cp planes ($^\circ$) of 5 zirconocene structures from QM and ONIOM calculations.....	72
4.10 The gap aperture ($^\circ$) of 5 zirconocene structures from QM and ONIOM calculations.....	75
4.11 The obliquity ($^\circ$) of 5 zirconocene structures from QM and ONIOM calculations.....	75
4.12 The twisted angle ($^\circ$) of 5 zirconocene structures from QM and ONIOM.....	78

Tables	Pages
4.13 The cavity distance (\AA) of 5 zirconocene structures from QM and ONIOM calculations.	80
4.14 The cavity angle (\AA) of 5 zirconocene structures from QM and ONIOM calculations.	81
4.15 The net charges of various atoms and group atoms (R^1 , R^2 , and $\mu\text{-}x$) of 5 zirconocene structures in neutral form obtained using B3LYP/DZVP.....	84
4.16 The net charges of various atoms and group atoms (R^1 , R^2 , and $\mu\text{-}x$) of 5 zirconocene structures in ion form obtained using B3LYP/DZVP.....	85

LIST OF ABBREVIATIONS

B3LYP	: Becke's threeparameter and Lee-Yang-Parr for the correlation
Cp	: Cyclopentadienyl
DFT	: Density Functional Theory
DZV	: Double Zeta Split Valance
DZVP	: Double Zeta Split Valance Plus Polarization Function
ECP	: Effective Core Potential
GTO	: Gaussian-type Orbital
IMOMM	: Integrated Molecular Orbital and Molecular Mechanics
LANL2DZ	: Effective Core Potential Basis set
MAO	: Methylaluminoxane
ONIOM	: Our own <i>n</i> -layered Integrated Molecular Orbital and Molecular Mechanics
QSPR	: Quantitative Structure-Property Relationship
STO	: Slater-type Orbital
TZVP	: triple zeta split valance
UFF	: Universal Force Field

LIST OF SYMBOLS

mim	: Minute
kg	: Kilogram
PP	: Polypropylene
h	: Hour
mol	: Mole
p	: Pressure